

IMÁGENES EN PEDIATRÍA

Cierre percutáneo de comunicación interventricular de gran tamaño en lactante

Percutaneous closure of big interventricular septal defect in an infant

Luis Fernandez Gonzalez^{a,*}, Roberto Blanco Mata^a, Javier Ayala Curiel^b
y Jose Luis Zunzunegui Martinez^c

^a Cardiología Intervencionista, Hospital Universitario de Cruces, Barakaldo, Vizcaya, España

^b Cardiología Pediátrica, Hospital Universitario de Cruces, Barakaldo, Vizcaya, España

^c Hemodinámica infantil, Hospital General Universitario Gregorio Marañón, Madrid, España

Lactante de 8 meses con diagnóstico por técnicas de imagen de comunicación interventricular (CIV) a nivel muscular amplia de unos 10 mm de diámetro (**fig. 1A-D**) con estancamiento ponderal (percentil 25) y datos de congestión, precisando tratamiento diurético. A pesar del tamaño del defecto y su corta edad, dada la dificultad para su acceso quirúrgico, se decide un intento de cierre percutáneo con dispositivo autoexpandible KONAR MF (Lifetech™, China), que permite sobredimensionamiento con menor tasa de bloqueo auriculoventricular, dada su flexibilidad y menor fuerza radial^{1,2}.

A través del acceso arterial femoral tras cruce del defecto y externalización de la guía, se establece un circuito

arteriovenoso. Seguidamente, con control de ecocardiografía transesofágica, por vía yugular, se logra avanzar una vaina de 7 French hasta la aorta ascendente a través de la cual se libera de forma progresiva un dispositivo KONAR MF de 14 mm, con correcta aposición y estabilidad sobre el defecto interventricular, sin interferencia con estructuras vecinas (**fig. 2A-D, video 1**).

Tras un año de seguimiento con controles ecocardiográficos sucesivos, que muestran un leve defecto residual (**fig. 3A y B, videos 2 y 3**), se ha evidenciado mejoría clínica, con recuperación del progreso ponderoestatural (percentil 50), sin necesidad de tratamiento diurético y sin precisar ingreso hospitalario.

* Autor para correspondencia.

Correo electrónico: luisfg82@hotmail.com
(L. Fernandez Gonzalez).

L. Fernandez Gonzalez, R. Blanco Mata, J. Ayala Curiel et al.

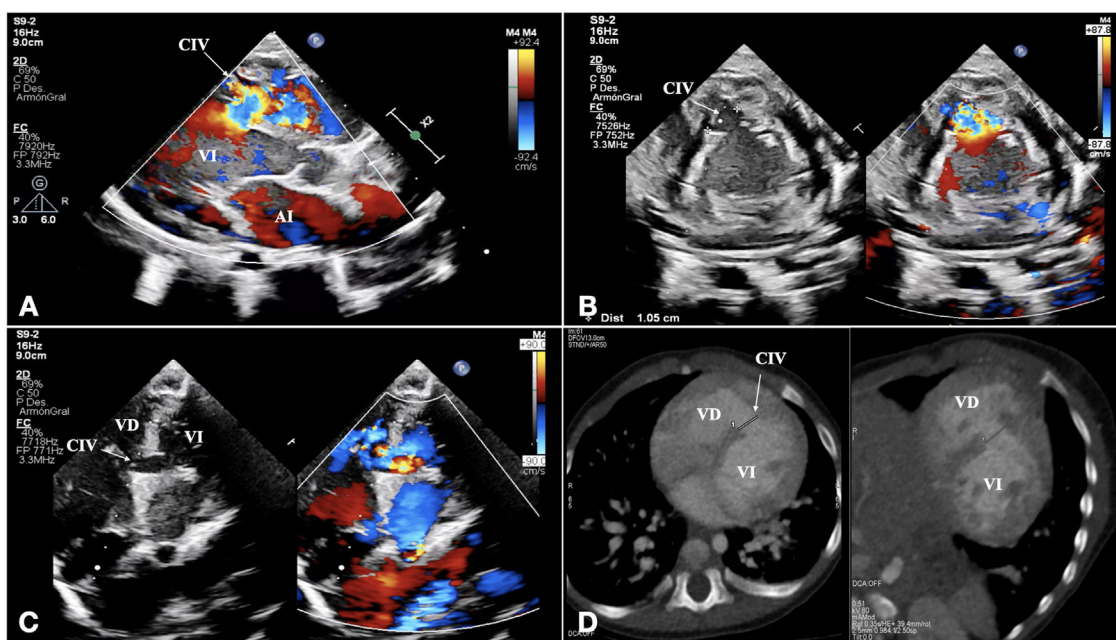


Figura 1 A-C. Imágenes de ecocardiografía transtorácica que muestran el defecto interventricular a nivel muscular (flechas). A. Proyección paraesternal eje largo. B. Proyección paraesternal eje corto. C. Proyección apical 5 cámaras. D. Imágenes de tomografía axial computarizada para planificación del procedimiento. AD: aurícula derecha; AI: aurícula izquierda; CIV: comunicación interventricular; VD: ventrículo derecho; VI: ventrículo izquierdo.

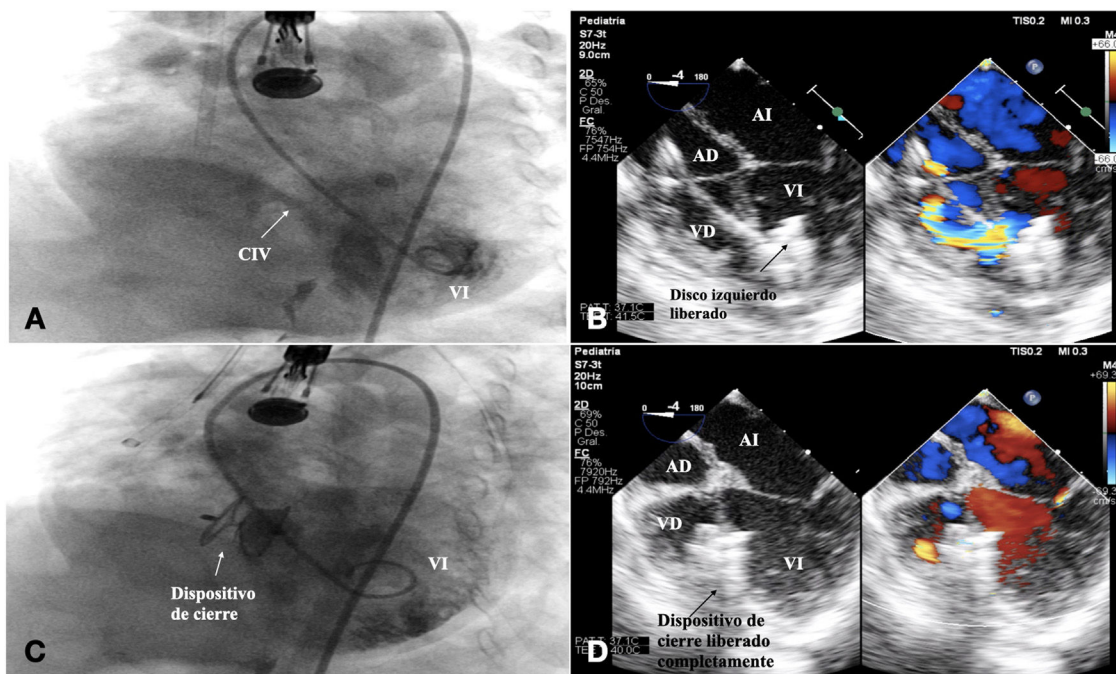


Figura 2 Procedimiento de cierre percutáneo. A. Angiografía previa que muestra el defecto a nivel muscular con paso de contraste a cavidades derechas (flecha). B. Ecocardiograma transesofágico en proyección 4 cámaras que muestra la liberación del disco de retención del dispositivo. C. Angiografía tras la liberación del dispositivo. D. Ecocardiograma transesofágico en proyección 4 cámaras tras el implante con defecto ligero residual. AD: aurícula derecha; AI: aurícula izquierda; CIV: comunicación interventricular; VD: ventrículo derecho; VI: ventrículo izquierdo.

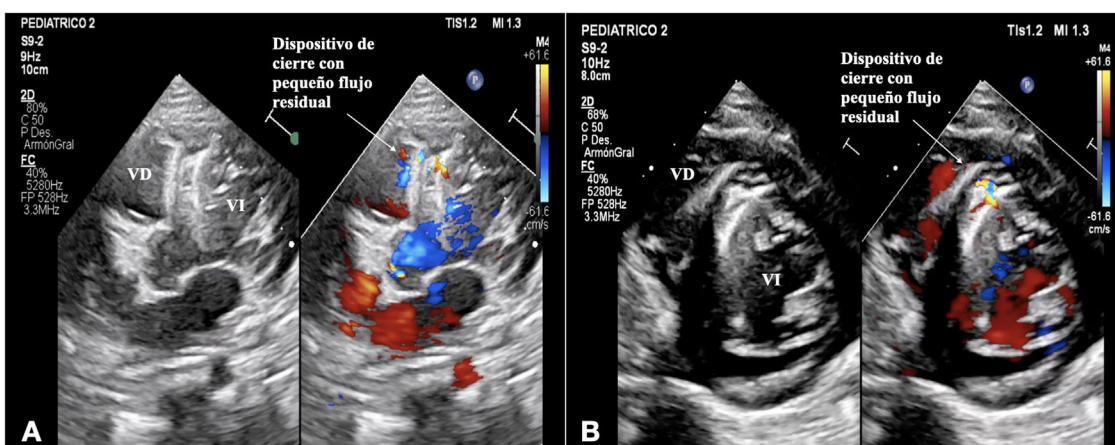


Figura 3 A y B. Ecocardiograma transtorácico en proyección apical 4 cámaras (A) y paraesternal eje corto (B) de control tras un año del procedimiento con defecto ligero residual. VD: ventrículo derecho; VI: ventrículo izquierdo.

Anexo. Material adicional

Se puede consultar material adicional a este artículo en su versión electrónica disponible en <https://doi.org/10.1016/j.anpedi.2024.03.001>.

Bibliografía

1. Tanidir IC, Baspinar O, Saygi M, Kervancioglu M, Guzeltas A, Odemis E. Use of Lifetech™ Konar-MF, a device for both

perimembranous and muscular ventricular septal defects: A multicentre study. *Int J Cardiol*. 2020;310:43–50, <http://dx.doi.org/10.1016/j.ijcard.2020.02.056>.

2. Ece İ, Bağrul D, Kavurt AV, Terin H, Torun G, Koca S, et al. Transcatheter Ventricular Septal Defect Closure with Lifetech™ Konar-MF Occluder in Infants Under 10 kg with Only Using Venous Access. *Pediatr Cardiol*. 2024;45:175–83, <http://dx.doi.org/10.1007/s00246-023-03350-3>.